

## مطالعه صفات تشریحی مربوط به برگ و دمگل گونه‌های سرده پتروسفالوس از تیره آقطیان در ایران

سپیده پیروزی<sup>۱</sup>، فریده عطار<sup>۱</sup>، محسن فلاحتی عنبران<sup>۲</sup>، کاظم مهدیقلی<sup>۱</sup>

هرباریوم مرکزی دانشگاه تهران، بخش علوم گیاهی، دانشکده زیست‌شناسی، پردیس علوم، دانشگاه تهران، تهران، ایران؛ <sup>۲</sup>بخش علوم گیاهی، دانشکده زیست‌شناسی، پردیس علوم، دانشگاه تهران، تهران، ایران  
مسئول مکاتبات: فریده عطار، faridehattar@ut.ac.ir

چکیده. سرده پتروسفالوس از تیره آقطیان دارای ۳۰ گونه در مناطق معتدل نیمکره شمالی جهان بوده که ۱۴ گونه آن شامل ۵ گونه انحصاری در ایران گزارش شده است. در این مطالعه، صفات تشریحی شامل ۳۵ صفت مربوط به برگ و ۳۰ صفت مربوط به دمگل با استفاده از میکروسکوپ نوری، بر روی ۱۵ آرایه از ۱۱ گونه سرده پتروسفالوس مورد بررسی قرار گرفتند. نتایج نشان داد که در بین گونه‌های مورد مطالعه دو تیپ کلی از نظر میان برگ، شش نوع کرک در برگ و پنج نوع کرک در دمگل وجود دارد. بلور اگرالات کلسیم در دمگل و برگ اکثریت گونه‌ها به غیر از *P. plumosus* و *P. brevis* دیده شد. مقطع دمگل، به صورت شش ضلعی، دایره‌ای دیگر دارد، از نظر صفات تشریحی برگ و دمگل نیز به خوبی از سایر گونه‌ها جدا شده است. گونه‌های *P. wendelboi* و *P. szovitsii* و *P. ghahremanii* و *P. kurdicus* و دو نمونه *P. szovitsii* از نظر ریخت‌شناسی مشابه یکدیگر هستند، به طوری که صفات نام بردۀ برای سایر گونه‌ها جدا کننده نیستند. به طور کلی می‌توان نتیجه‌گیری کرد که صفات تشریحی برگ و دمگل برای برخی از گونه‌های مورد بررسی ارزش آرایه‌شناسی دارند.

واژه‌های کلیدی. آرایه‌شناسی، بلور اگرالات کلسیم، تیره خواجه‌باشیان، صفات ریز‌ریخت‌شناسی، کرک

## Leaf and peduncle anatomy of some species of the genus *Pterocephalus* (Caprifoliaceae) from Iran

**Sepideh Pirooz<sup>1</sup>, Farideh Attar<sup>1</sup>, Mohsen Falahati-Anbaran<sup>2</sup>, Kazem Mehdigholi<sup>1</sup>**

<sup>1</sup>Central Herbarium of Tehran University, Department of Plant Sciences, School of Biology, College of Science, University of Tehran, Tehran, Iran; <sup>2</sup>Department of Plant Sciences, School of Biology, College of Science, University of Tehran, Tehran, Iran

Correspondent author: Farideh Attar, faridehattar@ut.ac.ir

**Abstract.** *Pterocephalus* (Caprifoliaceae) consists of 30 species worldwide, mainly distributed in the temperate regions of the northern hemisphere, of which 14 species were reported from Iran, including five endemic ones. In this study, 35 leaf-related traits and 30 peduncle-related traits were investigated by light microscopy of 15 samples from 11 Iranian species of *Pterocephalus*. Our results showed that there were two types of midrib, six types of leaf indumentum and five types of peduncle indumentum. Crystallized calcium oxalate was observed in the leaves and peduncles of most species except in *P. plumosus* and *P. brevis*. The profiles of the peduncles were hexagonal, circular or elliptical. The vascular cylinder shape varied from circular to sinuate form. *P. wendelboi*, with a very different morphology as compared with other species, also exhibited different anatomical characters. The hexagonal sections of peduncle in *P. ghahremanii* and *P. kurdicus* and two samples of *P. szovitsii* were found to be very similar. However, the mentioned characters were found to be less informative or characterisation of other species. In conclusion, the results showed that the anatomical characters of the leaves and peduncles might have some taxonomic importance in the identification of some species of the genus *Pterocephalus*.

**Keywords.** crystallized calcium oxalate, Dipsacaceae, indumentum, micromorphology, taxonomy

## مقدمه

دارند. سلول‌های اشعه منفذدار در *Pterocephalus dumetorum* Coul. دیده شده است. بخش مغز در ساقه معمولاً عریض است و متشكل از سلول‌های کلانشیمی با دیواره نازک است. ساقه‌ها اغلب در زمان بلوغ توالی می‌شوند. بلورهای اگرالات کلسیم اغلب در سلول‌های بافت پارانشیمی (قشر، مغز) دیده می‌شوند و معمولاً به صورت دسته‌های مرتب شده هستند (Carlquist, 1982).

برگ در تیره خواجه‌باشیان پشتی-شکمی و یا مرکزی است (Metcalfe & Chalk, 1950). آوندیندی دمبرگ در این تیره، سه‌حفره‌ای است، اثرات برگی جانبی، دوشاخه‌ای است و برخلاف تیره سنبل الطیب (Valerianaceae Batsch.)، اثر برگی میانی منشعب نیست (Neubauer, 1978). کرک‌ها تکسلولی هستند و معمولاً چوبی، گاهی از بیرون‌زدگی‌های چندسلولی خارج می‌شوند (Metcalfe & Chalk, 1950).

با توجه به گزارشات موجود، تاکنون فقط دو گونه از سرده پتروسفالوس از نظر صفات آوند چوب مورد بررسی قرار گرفته‌اند (Carlquist, 1982; Crivellaro, 2012) و در خصوص صفات آناتومی و ریزیخت‌شناسی سایر گونه‌ها به خصوص گونه‌های گزارش شده در ایران که غالب گونه‌های این سرده را نیز تشکیل می‌دهند اطلاعاتی چندانی در دسترس نیست و علاوه بر این کارایی این صفات برای تفکیک گونه‌های این سرده و همچنین دسته‌بندی بین آن‌ها موردن بررسی قرار نگرفته است. بنایارین هدف مطالعه حاضر مقایسه و بررسی صفات تشریحی برگ و دمگل گونه‌های مختلف سرده پتروسفالوس در ایران و اهمیت این صفات در آرایه‌شناسی است.

## مواد و روش‌ها

نمونه‌های گیاهی از ۱۱ گونه سرده پتروسفالوس از هرباریوم مرکزی دانشگاه تهران (TUH) تهیه گردید. از گونه‌های *P. canus* و *P. szovitsii* Boiss. دو نمونه که تفاوت ظاهری بیشتری داشتند و همچنین دو نمونه که با تعریف هیچکدام از گونه‌ها هم-خوانی نداشتند نیز مورد بررسی قرار گرفتند. در نهایت ۱۵ نمونه از این سرده مورد مطالعه قرار گرفت (جدول ۱).

### یادداشت‌برداری صفات تشریحی برگ

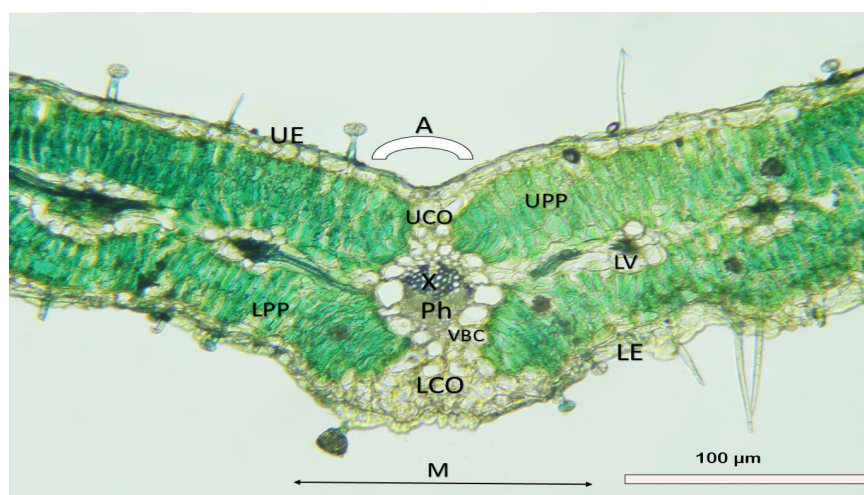
به منظور انجام مطالعات تشریحی بر روی برگ، از برگ‌های قاعده‌ای گیاه استفاده شد و نمونه‌ها به مدت چند دقیقه در آب جوش قرار داده شدند تا بافت برگ نرم شود. سپس یک‌سوم میانی طول برگ با تیغ جدا شد و یک میلی‌متر مربع از دو طرف رگبرگ میانی پهنک تشکیل شده‌اند و در برخی سلول‌ها پیت‌های حاشیه‌ای نیز وجود

تیره آقطیان شامل شش زیرتیره از جمله Dipsacoideae است. این گروه غالباً در ایران و همچنین در این مقاله با عنوان تیره خواجه‌باشیان (Dipsacaceae Juss.) شناخته شده که شامل پنج سرده از جمله *Pterocephalus* Vaill. ex Adans. است (Rechinger, 1991). سرده پتروسفالوس در منطقه شرق ایران و ناحیه شرق مدیترانه، جنوب شرقی اسپانیا، مراکش، جزایر قناری و شرق آفریقا پراکنش دارد. این گیاهان زیستگاه نسبتاً خشک و باز و محدوده ارتفاع ۰-۲۵۰۰ متر را انتخاب می‌کنند (Kadereit & Bittrich, 2016). گونه‌های این سرده در ایران، در مناطق غربی از شمال تا جنوب پراکنش دارند و به ندرت در نواحی شمال شرق و جنوب شرق دیده می‌شوند (Jamzad, 1993). سرده پتروسفالوس دارای ۳۰ گونه در جهان (Kadereit & Bittrich, 2016) و ۱۵ گونه در محدوده فلات ایران است. ۱۴ گونه آن در ایران گزارش شده‌اند و پنج گونه آن انحصاری است (Rechinger, 1991). اکثر گونه‌ها در ایران پراکنش جغرافیایی محدودی داشته، اما گونه‌های *Pterocephalus. canus* Coult. ex DC. و *P. plumosus* (L.) Coult پراکنش وسیعی در کشور و حتی در جهان دارند. تنها گونه خاردار این سرده *P. wendelboi* Rech.f. بومی انصاری کوه گنو در استان هرمزگان است (Rechinger, 1991). صفات تشریحی چوب بعضی گونه‌های تیره خواجه‌باشیان (از جمله دو گونه از سرده پتروسفالوس و سه گونه از سرده *Scabiosa* L.) توسط کارلکوئیست بررسی شده و بعضی ویژگی‌های ابتدایی را نشان می‌دهند به طوری که همه گونه‌ها به جای فیبرهای لیبریفرم، تراکنید دارند (Carlquist, 1982). در آوند چوب ثانویه، صفحات منفذدار عمده ساده هستند و صفحات منفذدار نرdbanی به ندرت در آوند چوب اولیه رخ می‌دهد. با توجه به ساختار چوب، کارلکوئیست پیشنهاد کرده است که تیره خواجه‌باشیان تیره‌ای با قاعده بوته‌ای است، که این نشان می‌دهد که ممکن است بافت چوبی از صفات ابتدایی تیره باشد (Carlquist, 1982). دسته‌های آوندی محوری در گونه‌های ابتدایی جدا هستند، سپس بر اثر فعالیت لایه کامبیوم تبدیل به حلقه پیوسته شامل آوند چوب، آبکش و عناصر آوندی می‌شوند. آوندها معمولاً در ردیف‌های شعاعی هستند و بسیاری دارای ضخامت مارپیچی هستند. پلاستیدهای لوله‌آبکش این تیره متعلق به نوع S یا ذخیره کننده نشاسته هستند (Behnke, 1994). اشعه‌های مغزی از سلول‌هایی با دیواره نسبتاً نازک چوبی تشکیل شده‌اند و در برخی سلول‌ها پیت‌های حاشیه‌ای نیز وجود

جدول ۱- مشخصات جغرافیایی و هرباریومی گونه‌های سرده پتروسفالوس بررسی شده در این تحقیق. علامت خط تیره نشان‌دهنده فقدان داده مربوطه است.

**Table 1.** The geographic and herbarium information of the studied species of *Pterocephalus*. A dash line indicates that data is not available.

| نام گونه                  | شماره هرباریومی | تاریخ جمع آوری | ارتفاع (متر) | جمع آوری کننده          | محل جمع آوری   |
|---------------------------|-----------------|----------------|--------------|-------------------------|--|
| <i>P. afghanicus</i>      | 27492 (TUH)     | 10.5.2001      | 1500         | Ghahreman et al.        | خراسان: مشهد، چنان، بند اخلمد                                  |
| <i>P. brevis</i>          | 46782 (TUH)     | 8.5.2016       | -            | Attar et al.            | فارس: شیراز، پرسپولیس  |
| <i>P. canus</i>           | 8590 (TUH)      | 10.5.1989      | -            | Kazempur                | آذربایجان: دریاچه ارومیه، حزیره کبودان                         |
| <i>P. canus</i>           | 4728 (TUH)      | 10.6.1985      | -            | Ghahreman               | مرکزی؛ غرب اراک، رشتہ کوه راسوند                               |
| <i>P. ghahremani</i>      | 21831 (TUH)     | 18.6.1998      | 1750         | Ghahreman, et al.       | لرستان: خرم‌آباد، جاده کشور، ۱۵ کیلومتری گردنه نوژیان          |
| <i>P. gedrosiacus</i>     | 46745 (TUH)     | 6.5.2016       | 2222         | Attar et al.            | فارس: استهبان، تنگه خیر  |
| <i>P. khorasanicus</i>    | s.n. (FUMH)     | 7.6.1986       | 1700         | Naddaf                  | خراسان: شمال مشهد، کوههای بلقور                                |
| <i>P. kurdicus</i>        | 20061 (TUH)     | 28.6.1997      | 1800         | Ghahreman & Mozaffarian | چهارمحال و بختیاری: بین اردل و ناغان                           |
| <i>P. plumosus</i>        | 46705 (TUH)     | 24.5.2016      | 1700         | Mahdigholi& Raei Niaki  | کردستان: سنندج به ملایر، گردنه گاران                           |
| <i>P. pyrethrifolius</i>  | 42275 (TUH)     | 8.6.2011       | 1980         | Attar et al.            | لرستان: حدود ۱۵ کیلومتری شول آباد به علی- گودرز                |
| <i>P. szovitsii</i>       | 69881 (TUH)     | 6.9.1991       | 1600         | Mozaffarian             | آذربایجان: حدود ۱۵ کیلومتری از ارومیه به سرو، منطقه قلعه سردار |
| <i>P. wendelboi</i>       | 39333 (TUH)     | 18.5.2009      | 2300         | Attar et al.            | هرمزگان: بندرعباس، کوه گنو                                     |
| <i>Pterocephalus</i> sp.1 | 19922 (TUH)     | 2.7.1996       | 1500         | Attar et al.            | کرمانشاه   |
| <i>Pterocephalus</i> sp.2 | 28553 (TUH)     | 26.5.2002      | -            | Ghahreman et al.        | کرمان  |
| <i>Pterocephalus</i> sp.3 | 27062 (TUH)     | 4.1995         | -            |                         | یزد  |



شکل ۱- برش عرضی برگ گونه *P. pyrethrifolius*: UE: اپیدرم بالایی، LE: اپیدرم پایینی، Ph: بافت آبکشی، X: بافت چوب، VBC: کلانشیم رویی، LCO: کلانشیم پایینی، M: رگبرگ میانی، LV: رگبرگ فرعی، VBC: سلول‌های اطراف دسته آوندی مرکزی؛ A: زاویه بین دو لبه میدریب؛ UPP: پارانشیم نرdbانی بالایی؛ LPP: پارانشیم نرdbانی زیرین؛ M: رگبرگ میانی؛ A: زاویه بین دو لبه میدریب؛ UPP: پارانشیم نرdbانی بالایی؛ LPP: پارانشیم نرdbانی زیرین؛ LV: رگبرگ فرعی.

**Fig. 2.** The cross-section of the leaf in *P. pyrethrifolius*. UE: Upper Epidermis; LE: Lower Epidermis; Ph: Phloem; Xy: Xylem; UCO: Upper Collenchyma; LCO: Lower Collenchyma; M: Middle vein; VBC: Vascular Bundle Cells. A: Angle between 2 sides of blade; UPP: Upper Palisade Parenchyma; LPP: Lower Palisade Parenchyma; LV: Lateral Vein.

و *P. plumosus* کمترین عرض استوانه آوندی در *P. afghanicus* Boiss. بیشترین آن در *P. gedrosiacus* مشاهده می‌شود. در اکثر گونه‌های این تیپ، طول استوانه آوندی (در طول میان برگ) کوتاه‌تر از عرض آن (در عرض میان برگ) است. عرض بافت آبکشی از ۱۵ ( ) *P. plumosus* (plumosus) تا ۵۴  $\mu\text{m}$  (*P. ghahremani*) و عرض بافت چوبی از *P. canus* (Kazempour 8590) تا ۳۱  $\mu\text{m}$  (*P. canus*) تا ۴۱  $\mu\text{m}$  (*P. afghanicus*) (afghanicus)، طول بافت آبکش از ۶۸ (*P. ghahremani*) تا *P. afghanicus* و طول بافت چوب از ۴۶ ( ) *P. afghanicus* (afghanicus) ۹۳  $\mu\text{m}$  (*P. afghanicus*) تا ۸۶  $\mu\text{m}$  (*P. pyrethrifolius*) (*P. plumosus*) تا ۸۳  $\mu\text{m}$  (*P. khorassanicus*) (*P. khorassanicus*) و کلانشیم زیرین از ۳۹ (*P. afghanicus*) تا ۱۰۷ میکرومتر (*P. afghanicus*) است (جدول ۲).

نمونه‌های تیپ دوم غلاف آوندی ندارند. در بعضی گونه‌ها در قسمت بالایی دسته آوندی سلول‌های استوانه دیده نمی‌شود. این تیپ شامل *P. kurdicus* Vatke *P. wendelboi* *P. afghanicus* (*P. szovitsii*.SP *P. szovitsii* (Mozaffarian 69881).<sup>۳</sup> *P. canus* (Ghahreman 4728) و *P. brevis* Coult. است (شکل ۳). کمترین اندازه طول استوانه آوندی در *P. kurdicus* و بیشترین آن در (*P. canus* (Ghahreman 4728) کمترین عرض استوانه آوندی در (*P. szovitsii* *P. brevis* و بیشترین آن در *P. szovitsii* دیده می‌شود (جدول ۲). کمترین و بیشترین ضخامت کلانشیم رویی در *P. brevis* و *P. szovitsii* (*P. canus* (Ghahreman 4728) مشاهده می‌شود، در گونه *P. wendelboi* کلانشیم رویی وجود ندارد. کمترین و بیشترین ضخامت کلانشیم زیرین به ترتیب در *P. canus* (*P. wendelboi* و *P. canus* (Ghahreman 4728) مشاهده می‌گردد.

گونه‌های تیپ اول به طور کلی از نظر ریخت‌شناسی به یکدیگر شباهت دارند، به غیر از گونه‌های *P. ghahremani* و *P. pyrethrifolius* که ریخت‌شناسی مشابه گونه‌های تیپ دوم دارند. نکته قابل توجه دو نمونه مختلف گونه *P. canus* هستند که هر کدام در یکی از دو تیپ مختلف دستجات آوندی قرار گرفته‌اند. تفاوت ظاهری این دو نمونه به این صورت است که *P. canus* (Kazempour 8590) دمگل آذین بسیار کوتاهی دارد در حالیکه *P. canus* (Ghahreman 4728) دمگل آذین بسیار بلندی دارد. نمونه ناشناخته پتروسفالوس sp.2 در طبقه‌بندی تیپ دوم قرار می‌گیرد، اما نمونه ۳ از *Pterocephalus* sp.3 از نظر اندازه‌ها و تعداد دسته‌های آوندی چوبی همانند تیپ اول است و تنها تفاوت اندکی در نامنظم بودن سلول‌های اطراف دستجات آوندی دارد.

با تیغ جدا شد و برش‌های دستی با استفاده از قسمت مرکزی ساقه گیاه آقطی و یا قطعات یونولیت توسط تیغ تهیه شد در حین برش- گیری، برش‌ها در ظرف حاوی آب ژاول خالص قرار داده شدند تا محتويات سلولی خارج شده و نمونه‌ها بی‌رنگ شوند. پس از شستشو با آب مقطر به مدت زمان ۱۰ ثانیه نمونه‌ها در اسید استیک رقیق شده قرار داده شدند تا رنگ‌هایی که در مراحل بعدی به نمونه اضافه خواهند شد، جذب نمونه‌ها شوند و سپس با آب مقطر شستشو داده شدند. برای رنگ‌آمیزی نمونه‌ها از روش رنگ-آمیزی مضاعف سبز متیل (برای رنگ‌آمیزی بافت چوبی یا چوب-پنبه‌ای) و قهوه‌ای بیسمارک (رنگ کننده بافت سلولزی) استفاده شد. نمونه‌ها بر روی لامهای شیشه‌ای قرار داده شدند و پس از لامل‌گذاری توسط میکروسوب نوری (Leitz wetzlar) با عدسی-های ۴، ۱۰ و ۳۲ برابر مورد بررسی قرار گرفتند و با استفاده از دوربین (Canon – EOS-1200D) با بزرگنمایی ۱۰ برابر و ۳۲ برابر عکسبرداری شدند.

#### یادداشت‌برداری صفات تشریحی دمگل

به منظور یادداشت‌برداری صفات تشریحی دمگل، قطعه یک سانتی‌متری از بخش انتهایی ساقه گل دهنده جدا گردید و در آب جوش گذاشته شد تا نرم شود. بقیه مراحل رنگ‌آمیزی همانند برش گیری و رنگ‌آمیزی برگ تکرار شد.

#### تجزیه آماری داده‌ها

جهت دسته‌بندی گونه‌ها و شناسایی صفات تفکیک‌کننده گونه‌ها، تجزیه به مولفه‌های اصلی براساس صفات کمی تشریحی برگ و دمگل توسط نرم افزار XLSTAT 2007.6 انجام گردید.

## نتایج و بحث

### تشریح رگبرگ میانی و بنهنگ برگ

با بررسی تشریحی برگ ۱۵ نمونه از ۱۱ گونه سرده پتروسفالوس دو تیپ کلی برای دسته آوندی مرکزی در قسمت رگبرگ میانی دیده شد (شکل‌های ۱ و ۲، جدول ۲). در نوع اول، غلاف آوندی اطراف دسته‌های آوندی وجود دارد. در زیر روضوست فوقانی و تحتانی، کلانشیم به عنوان بافتی استحکامی وجود دارد. تیپ اول شامل گونه‌های آوندی وجود دارد. در زیر انجام گردید. *P. pyrethrifolius* *P. ghahremani* Jamzad *P. khorassanicus* Czerniak. Boiss. & Hohen. *P. gedrosiacus* Rech.f., Aellen & Esfand. *P. plumosus* و *P. canus* (Kazempour 8590) است (شکل ۲). کمترین اندازه طول استوانه آوندی در *P. pyrethrifolius* و بیشترین آن در *P. canus* (Kazempour 8590).

جدول ۲- اندازه‌گیری کمی صفات تشریحی پهنهک، رگبرگ میانی برگ و کرک آن‌ها در گونه‌های مختلف سرده پتروسفالوس

Table 2. Anatomical measurements of blade, middle vein and trichome of the leaves of *Pterocephalus* species

| Characters <sup>1</sup>       | <i>P. wendwilboi</i> | <i>P. kurdicus</i> | <i>P. ghahremani</i> | <i>P. szovitsii</i><br>(Mozaffarian 69881) | <i>Pterocephalus</i><br>sp.1 | <i>P. pyrethrifolius</i> | <i>P. afghanicus</i> | <i>P. gedrosiacus</i><br><i>P. canus</i><br>(Kazempour 8590) | <i>P. canus</i><br>(Ghahreman 4728) | <i>P. khorassanicus</i> | <i>P. brevis</i> | <i>P. plumosus</i><br><i>Pterocephalus</i><br>sp.2 | <i>Pterocephalus</i><br>sp.3 |
|-------------------------------|----------------------|--------------------|----------------------|--|------------------------------|--------------------------|----------------------|--|-------------------------------------|-------------------------|------------------|--|------------------------------|
| Leaf midrib (μm) <sup>2</sup> | UET                  | 14                 | 27                   | 29   | 22                           | 21                       | 14                   | 18   | 25                                  | 15                      | 12               | 14   | 17                           |
|                               | LET                  | 16                 | 34                   | 26   | 20                           | 17                       | 18                   | 17   | 15                                  | 17                      | 18               | 16   | 10                           |
|                               | PhW                  | 30                 | 18                   | 54   | 20                           | 16                       | 19                   | 16   | 17                                  | 29                      | 22               | 20   | 15                           |
|                               | PhL                  | 169                | 171                  | 68   | 176                          | 162                      | 48                   | 93   | 97                                  | 64                      | 175              | 68   | 110                          |
|                               | XyW                  | 53                 | 73                   | 39   | 70                           | 74                       | 26                   | 41   | 34                                  | 31                      | 68               | 35   | 41                           |
|                               | XyL                  | 135                | 132                  | 60   | 139                          | 125                      | 46                   | 86   | 80                                  | 47                      | 150              | 58   | 85                           |
|                               | UCOT                 | -                  | 100                  | 71   | 105                          | 72                       | 31                   | 83   | 53                                  | 35                      | 94               | 39   | 36                           |
|                               | LCOT                 | 48                 | 113                  | 47   | 77                           | 98                       | 41                   | 107  | 65                                  | 65                      | 73               | 39   | 61                           |
|                               | VBL                  | 234                | 240                  | 139  | 207                          | 210                      | 90                   | 120  | 112                                 | 105                     | 250              | 111  | 176                          |
|                               | VBW                  | 165                | 150                  | 138  | 151                          | 196                      | 100                  | 87   | 145                                 | 93                      | 182              | 103  | 77                           |
|                               | ML                   | 229                | 473                  | 314  | 521                          | 481                      | 257                  | 367  | 290                                 | 227                     | 499              | 279  | 331                          |
|                               | MW                   | 359                | 365                  | 279  | 375                          | 394                      | 204                  | 277  | 286                                 | 236                     | 395              | 204  | 205                          |
|                               | NVBC                 | 29                 | 30                   | 19   | 34                           | 40                       | 17                   | 19   | 29                                  | 18                      | 37               | 18   | 14                           |
| Leaf blade (μm) <sup>3</sup>  | A                    | 143                | 165                  | 149  | 138                          | 138                      | 125                  | 97   | 148                                 | 145                     | 134              | 112  | 74                           |
|                               | BT                   | 323                | 225                  | 226  | 179                          | 173                      | 182                  | 227  | 161                                 | 184                     | 180              | 183  | 173                          |
|                               | UPPT                 | 122                | 77                   | 103  | 92                           | 90                       | 75                   | 84   | 59                                  | 65                      | 68               | 70   | 57                           |
|                               | LPPT                 | 145                | 74                   | 77   | 53                           | 79                       | 60                   | 82   | 58                                  | 66                      | 69               | 67   | 59                           |
|                               | LVT                  | 82                 | 89                   | 93   | 50                           | 40                       | 49                   | 59   | 37                                  | 45                      | 46               | 72   | 47                           |
|                               | SPP <sup>4</sup>     | -                  | -                    | -  | +                            | +                        | -                    | -  | -                                   | -                       | -                | -  | -                            |
|                               | PPCL                 | 52                 | 39                   | 28   | 16-27                        | 13-24                    | 15-37                | 24   | 24                                  | 26                      | 18               | 30   | 26                           |
|                               | NUPPC                | 4                  | 3                    | 3  | 2                            | 3                        | 3                    | 3  | 2                                   | 3                       | 3                | 2  | 2                            |
|                               | NLPPC                | 4                  | 3                    | 3  | 2                            | 2                        | 3                    | 3  | 3                                   | 3                       | 3                | 2  | 3                            |
|                               | SPL                  | D                  | D                    | D >u                                       | L                            | L                        | D                    | D >u   | D                                   | D                       | D                | L  | D                            |

۱. صفات مربوط به رگبرگ میانی: UET: ضخامت اپیدرم بالایی، LET: ضخامت اپیدرم پایینی؛ PhT: قطر بافت آبکش؛ XyT: ضخامت پارانشیم زیرین؛ A: زاویه بین دو لبه میدریب؛ B: قطر چوب؛ C: قطر بافت چوب؛ D: ضخامت کلانشیم رویی؛ E: ضخامت کلانشیم زیرین؛ F: ضخامت دسته آوندی؛ G: قطر دسته آوندی؛ H: ضخامت رگبرگ میانی؛ I: ضخامت پارانشیم زردبانی بالایی؛ J: ضخامت پارانشیم زردبانی زیرین؛ K: ضخامت رگبرگ فرعی؛ L: ضخامت پارانشیم نزدیکی زیرین؛ M: ضخامت پهنهک؛ N: ضخامت پارانشیم نزدیکی بالایی؛ O: ضخامت پارانشیم نزدیکی زردبانی؛ P: ضخامت پارانشیم نزدیکی زیرین؛ Q: عدد لایه سلول پارانشیم نزدیکی زیرین؛ R: اسفنجی؛ S: طول سلول پارانشیم نزدیکی؛ T: عدد لایه سلول پارانشیم نزدیکی رویی؛ U: عدد لایه سلول پارانشیم نزدیکی زردبانی؛ V: اسفنجی؛ W: حالت لایه‌های نزدیکی.

۲. حروف "—" و "+" به ترتیب نشان‌دهنده عدم وجود، وجود صفت است.

۳. حروف "D" و "L" به ترتیب نشان‌دهنده بهم فشرده و از هم کمی فاصله‌دار است.

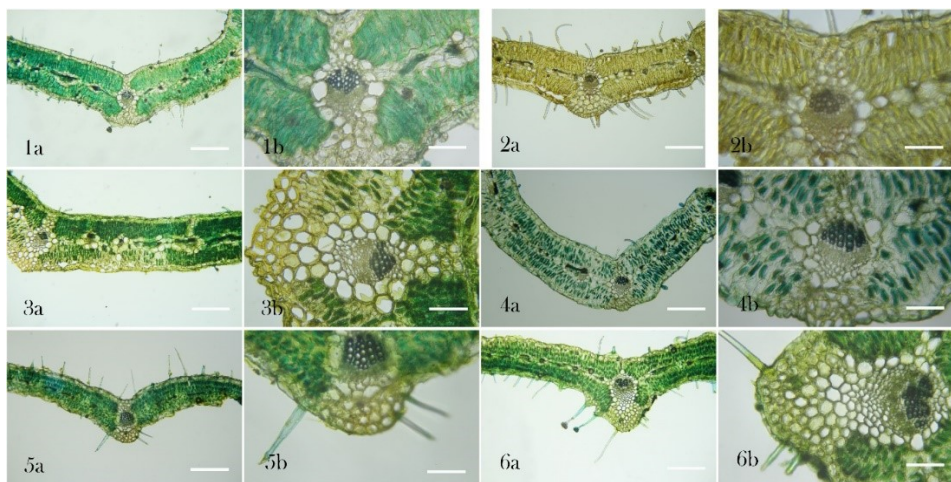
۴. حروف u و l مربوط به اپیدرم بالایی و پایینی هستند.

1. Midrib related traits: UET: Upper Epidermis Thickness; LET: Lower Epidermis Thickness; PhT: Phloem Thickness; PhD: Phloem Diameter; XyT: Xylem Thickness; XyD: Xylem Diameter; UCOT: Upper Collenchyme Thickness; LCOT: Lower Collenchyme Thickness; VBT: Vascular Bundle Thickness; VBD: Vascular Bundle Diameter; MT: Middle vein Thickness; NVBC: Number of Vascular Bundle Cells. Blade related traits: A: Angle between 2 sides of blade; BT: Blade Thickness; UPPT: Upper Palisade Parenchyma Thickness; LPPT: Lower Palisade Parenchyma Thickness; LVT: Lateral Vein Thickness; SPP: Spongy Parenchyma Presence; PPCL: Palisade Parenchyma Cell Length; NUPPC: Number of Upper Palisade Parenchyma Cell layer; NLPPC: Number of Lower Palisade Parenchyma Cell layer; SPL: Situation of Parenchyma Layer.

2. D and L denote dense and loose, respectively.

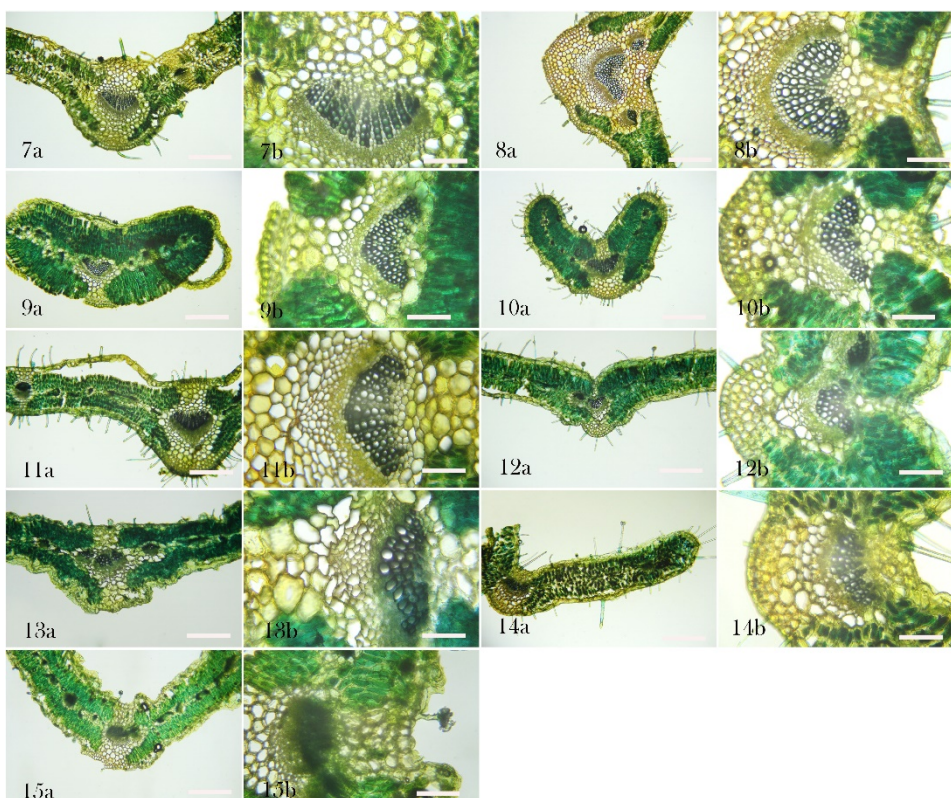
3. + and - represent the presence and absence of the trait, respectively.

4. u and l denote Upper and Lower Epidermis.



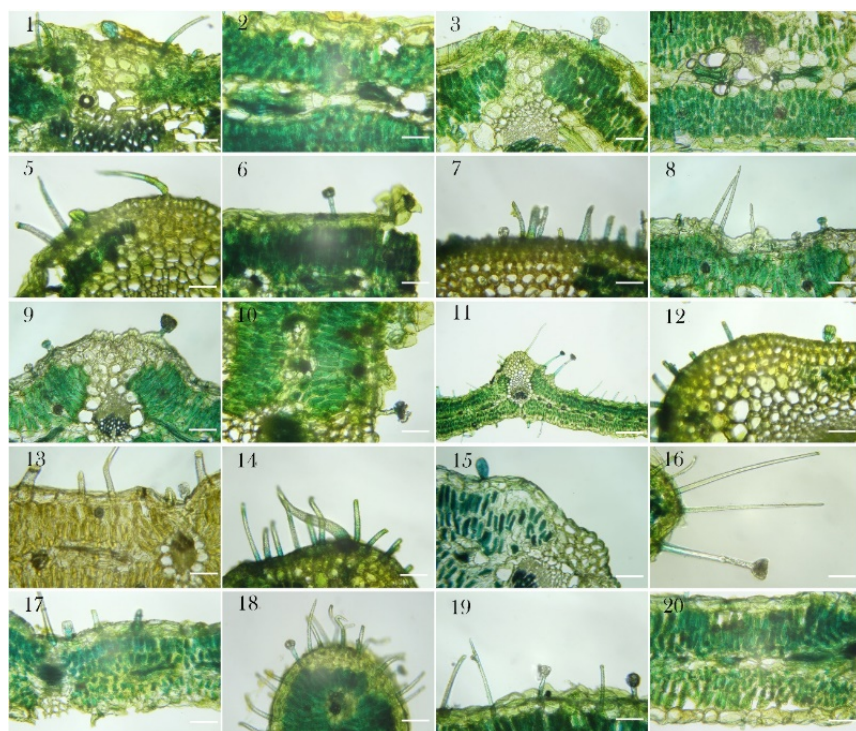
شکل ۲- تصاویر میکروسکوپ نوری از برش عرضی برگ در گونه‌های تیپ اول دارای سلول‌های دستجات آوندی سرده پتروسفالوس شامل گونه‌های *P. gedrosiacus*, (۱) *P. plumosus*, (۴) *P. khorassanicus*, (۳) *P. ghahremani*, (۲) *P. canus* (Kazempour 8590), (۵) *P. pyrethrifolius*. (۶). اندازه نوار مقیاس در a و b به ترتیب ۱۰۰ μm و ۵۰ μm هستند.

**Fig. 3.** The cross-sections of leaves in *Pterocephalus* species with vascular bundle cells in midrib: 1. *P. pyrethrifolius*, 2. *P. canus* (Kazempour 8590), 3. *P. ghahremani*, 4. *P. khorassanicus*. 5. *P. plumosus*, 6. *P. gedrosiacus*. Scale bars: a: 100 μm and b: 50 μm.



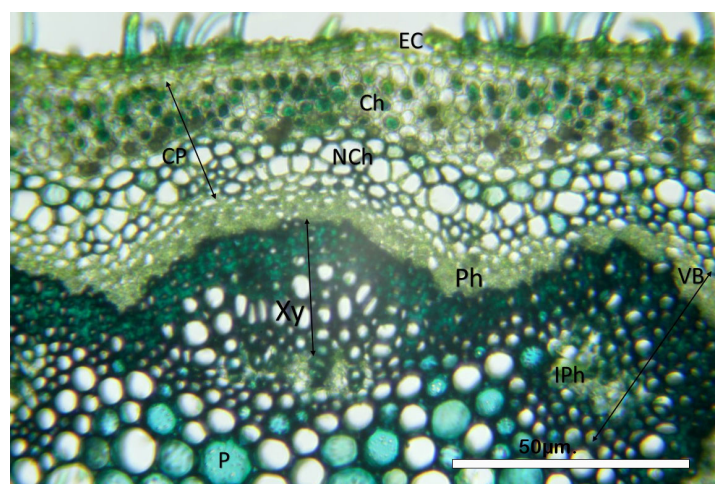
شکل ۳- تصاویر میکروسکوپ نوری از برش عرضی برگ در گونه‌های تیپ دوم بدون سلول‌های دستجات آوندی سرده پتروسفالوس شامل گونه‌های *P. szovitsii*, (۷) *P. kurdicus*, (۸) *P. brevis*, (۹) *P. canus* (Ghahreman 4728), (۱۰) *P. wendelboi*, (۱۱) *P. szovitsii*.SP., (۱۲) *P. brevis*, (۱۳) *P. kurdicus*, (۱۴) *P. afghanicus*, (۱۵) *P. afghanicus*. اندازه نوار مقیاس در a و b به ترتیب ۱۰۰ μm و ۵۰ μm هستند.

**Fig. 4.** The cross-section of leave in *Pterocephalus* species without vascular bundle cells in midrib: 7. *P. szovitsii*, 8. *Pterocephalus* sp.1, 9. *P. wendelboi*, 10. *Pterocephalus* sp.2, 11. *P. canus* (Ghahreman 4728), 12. *P. brevis*, 13. *P. kurdicus*, 14. *Pterocephalus* sp.3, 15. *P. afghanicus*. Scale bars: a: 100 μm and b: 50 μm.



شکل ۴ - تصاویر میکروسکوپ نوری از کرک‌های برگ در گونه‌های مختلف پتروسفالوس . ۱ و ۲ *P. kurdicus* -۳ و ۴ *P. ghahremanii* -۵ و ۶ *P. canus* (Ghahreman ۴۷۲۸) -۷ *P. gedrosiacus* -۸ *P. pyrethrifolius* sp.1 -۹ *P. afghanicus* -۱۰ *P. szovitsii* و ۱۱ *P. pterocephalus* sp.2 -۱۲ *P. plumosus* -۱۳ *P. brevis* -۱۴ *P. khorassanicus* -۱۵ *P. canus* (Kazempour 8590) -۱۶ و ۱۷ *P. canus* (Kazempour 8590) -۱۸ *P. gedrosiacus* -۱۹ *P. pterocephalus* sp.3 -۲۰ *P. pterocephalus* sp.3 -۲۱ نوار مقیاس در ۱۱: ۱۰۰ μm و در بقیه: ۵۰ μm

**Fig. 5.** Light microscopy of the leaf trichomes of *Pterocephalus* species: ۱, ۲. *P. kurdicus*, ۳, ۴. *P. ghahremanii*, ۵, ۶. *P. szovitsii*, ۷. *Pterocephalus* sp.1, ۸, ۹. *P. pyrethrifolius*, ۱۰. *P. afghanicus*, ۱۱. *P. gedrosiacus*, ۱۲. *P. canus* (Ghahreman 4728), ۱۳, ۱۴. *P. canus* (Kazempour 8590), ۱۵. *P. khorassanicus*, ۱۶. *P. brevis*, ۱۷. *P. plumosus*, ۱۸. *Pterocephalus* sp.2, ۱۹, ۲۰. *Pterocephalus* sp.3. Scale bar in ۱۱: 100 μm and others: 50 μm



شکل ۵ - برش عرضی دمگل در گونه *Pterocephalus* sp.1. EC: سلول اپیدرم، CP: پارانشیم قشری؛ Ch: پارانشیم کلروپلاستدار؛ NCh: پارانشیم قشری بدون کلروپلاست؛ Ph: بافت آوند آبکش اصلی؛ IPh: بافت آبکش مغز؛ VB: دستجات آوندی. Xy: بافت آبکش داخلی؛ P: پارانشیم مغز؛

**Fig. 6.** Cross-section of peduncle in *Pterocephalus* sp.1. EC: Epidermal Cell; CP: Cortical Parenchyma; Ch: Chloroplastic Parenchymal layers; NCh: Non Chloroplastic Parenchymal layers; Ph: Phloem layer; VB: Vascular Bundles; Xy: Xylem layer; IPh: Inner Phloem; P: Pith.

جدول ۳- اندازه‌گیری کمی صفات تشریحی دمگل و برگ در گونه‌های مختلف سرده پتروسفالوس . اعداد داخل پرانتز نشان‌دهنده شماره هرباریومی (TUH) هستند.

**Table 3.** Quantitative measurements of peduncle, hairs of peduncles and leaves in *Pterocephalus* species. The number within parenthesis denotes Herbarium Numbers (TUH).

| Characters                    | <i>P. wendelboi</i> | <i>P. kurdicus</i> | <i>P. gharemani</i><br>P. szovitsii (Mozaffarian<br>69881) | <i>Pterocephalus</i> sp.1 | <i>P. pyrethrifolius</i> | <i>P. afghanicus</i> | <i>P. gedrosiacus</i> | <i>P. canus</i> (Kazempour 8590) | <i>P. canus</i> (Ghahremān<br>4728) | <i>P. khorasanicus</i> | <i>P. brevis</i> | <i>P. plumosus</i> | <i>Pterocephalus</i> sp.2 | <i>Pterocephalus</i> sp.3 |             |      |
|-------------------------------|---------------------|--------------------|--|---------------------------|--------------------------|----------------------|-----------------------|----------------------------------|-------------------------------------|------------------------|------------------|--------------------|---------------------------|---------------------------|-------------|------|
| <i>Peduncle (μm)</i>          |                     |                    |  |                           |                          |                      |                       |                                  |                                     |                        |                  |                    |                           |                           |             |      |
| PA                            | 61<br>3             | 844×<br>743        | 863  | 673                       | 653×<br>554              | 613×<br>544          | 693×<br>597           | 503                              | 704                                 | 984×<br>1              | ×79<br>587       | 614×<br>550        | 830×7<br>24               | 725×<br>659               | 885×<br>747 |      |
| ECL                           | 14                  | 9                  | 13   | 10                        | 10                       | 12                   | 9                     | 9                                | 14                                  | 9                      | 10               | 8                  | 14                        | 7                         | 10          |      |
| CPT                           | 65                  | 105                | 65   | 87                        | 83                       | 101                  | 76                    | 52                               | 102                                 | 107                    | 143              | 62                 | 104                       | 56                        | 84          |      |
| ChT                           | 56                  | 58                 | 39   | 44                        | 34                       | 73                   | +                     | 41                               | 37                                  | 60                     | 77               | —                  | 25                        | 20                        | 48          |      |
| ChCD                          | 10                  | 12                 | 11   | 9                         | 9                        | 13                   | 10                    | 7                                | 9                                   | 10                     | 15               | —                  | 10                        | 12                        | 7           |      |
| NChCL                         | 8                   | 5                  | 4  | 5                         | 5                        | 5–6                  | 1–3                   | 5                                | 3                                   | 6                      | 5                | —                  | 2–3                       | 2                         | 43258       |      |
| 0/<br>0/                      |                     |                    |  |                           |                          |                      |                       |                                  |                                     |                        |                  |                    |                           |                           |             |      |
| NChT                          | 11<br>0/            | 32                 | 31   | 37                        | 41                       | 26                   |                       | 19                               | 59                                  | 46                     | 60               |                    | 81                        | 40                        | 39          |      |
| NChCT                         | 06                  | 8                  | 0/09   | 0/12                      | 10                       | 8                    | 9                     | 7                                | 11                                  | 7                      | 15               | 10                 | 10–15                     | 6                         | 8           |      |
| NNChC                         | L                   | 2                  | 5  | 3–4                       | 6                        | 5                    | 3                     | 6–10                             | 4                                   | 5–7                    | 7–8              | 4                  | 8                         | 7–8                       | 6           | 4    |
| ET                            | 4                   | 7                  | 7  | 4                         | 5                        | 7                    | 6                     | 4                                | 4                                   | 4                      | 5                | 8                  | 5                         | 6                         | 4           | 4    |
| PhT                           | 10                  | 10                 | 11   | 20                        | 18                       | 19                   | 18                    | 13                               | 30                                  | 13                     | 18               | 11                 | 12                        | 9                         | 23          |      |
| NVB                           | 16<br>12            | 13                 | 14   | 13                        | 12                       | 15                   | 10                    | 15                               | 16                                  | 15                     | 12               | 15                 | 14                        | 17                        | 15          |      |
| XyT                           | 1<br>7              | 65                 | 54   | 25                        | 61                       | 42                   | 52                    | 22                               | 77                                  | 47                     | 28               | 30                 | 34                        | 49                        | 60          |      |
| XCD                           | —<br>13             | 7–18               | 8–15   | 5–7                       | 5–13                     | 6–11                 | 5–12                  |                                  | 4–8                                 | 6–10                   | 6–14             | 6–10               | 6                         | 7–11                      | 43295       | 6–15 |
| IPhP                          | -                   | +                  | —  | +                         | +                        | +                    | +                     | —                                | +                                   | —                      | 434              | +                  | +                         | —                         | +           | +    |
| PA                            | 29<br>4<br>16       | 308×<br>426        | 475  | 309                       | 247×<br>324              | 267                  | 232×<br>277           | 312                              | 567×<br>215                         | ×53                    | 256×<br>8        | 299×<br>323        | 403×4<br>373              | 391×<br>73                | 407×<br>459 | 491  |
| PCD                           | 24                  | 12–<br>30          | 13–<br>39  | 12–<br>30                 | 8–18                     | 15–<br>32            | 12–<br>26             | 9–20                             | 9–17                                | 11–<br>27              | 11–<br>22        | 13–<br>20          | 13–<br>40                 | 43270                     | 10–<br>34   |      |
| <i>Leaf trichome (μm)</i>     |                     |                    |  |                           |                          |                      |                       |                                  |                                     |                        |                  |                    |                           |                           |             |      |
| LSH                           | -                   | 103<br>32+         | -  | 165                       | 198                      | 116                  | -                     | 158                              | 144                                 | 128                    | -                | 139                | 121                       | 71                        | 178         |      |
| SSH                           | -                   | 18                 | 49   | 36                        | 30                       | 14+6                 | 55                    | 48                               | 39                                  | 38                     | 54               | 41                 | -                         | 28                        | 58          |      |
| RHL                           | -                   | 33 (4)             | -  | -                         | -                        | -                    | 26 (4)                | 17 (4)                           | 21 (4)                              | (4)                    | 36               | -                  | 38(6<)                    | -                         | -           |      |
| RSL(N)                        | -                   | -                  | -  | -                         | -                        | -                    | -                     | -                                | -                                   | -                      | 7(1)-            | -                  | 6(1)-<br>149(2)           | -                         | -           |      |
| CHL                           | -                   | -                  | 27 (3)   | -                         | 17 (4)                   | 11(4)-<br>16(3)      | 19 (!)                | 12 (3)                           | -                                   | -                      | -                | -                  | -                         | 17                        | (3<!)       | 19   |
| CSL(N)                        | -                   | -                  | 19 (2)   | -                         | 7 (1)                    | 22(2)                | 31 (2)                | 21 (2)                           | -                                   | -                      | -                | -                  | -                         | 29 (2)                    | 19 (2)      |      |
| OHL                           | -                   | -                  | -  | -                         | -                        | -                    | -                     | 19                               | -                                   | -                      | (10<)<br>191     | -                  | -                         | -                         | 16          |      |
| OSL(N)                        | -                   | -                  | -  | -                         | -                        | -                    | -                     | 107 (2)                          | -                                   | -                      | (2)              | -                  | -                         | -                         | 30 (2)      |      |
| SHL                           | -                   | -                  | -  | 15                        | -                        | 24 (!)               | -                     | -                                | 17 (4)                              | -                      | -                | -                  | -                         | 15                        | -           |      |
| SSL(N)                        | -                   | -                  | -  | 27 (2)                    | -                        | 9 (1)                | -                     | -                                | 9 (1)                               | -                      | -                | -                  | -                         | -                         | -           |      |
| DCP/D                         | 15                  | 21                 | 40   | -                         | -                        | 15                   | 33                    | 13                               | 17                                  | -                      | 9                | -                  | -                         | 14                        | 11          |      |
| <i>Peduncle trichome (μm)</i> |                     |                    |  |                           | 156                      |                      |                       |                                  |                                     |                        |                  |                    |                           |                           |             |      |
| SLH                           | 86                  | -                  | -  | -                         | (3)                      | -                    | 143                   | !                                | -                                   | -                      | -                | 603                | 74                        | -                         | 138         |      |
| SSH                           | 23                  | -                  | -  | -                         | 34                       | -                    | 36                    | -                                | 50                                  | 85                     | 32               | 27                 | 24                        | 85                        | 31          |      |
| RHL                           | -                   | -                  | -  | -                         | -                        | -                    | 22 (4)                | -                                | 18 (4)                              | -                      | -                | 18                 | (10<)<br>226              | -                         | -           |      |
| RSL(N)                        | -                   | -                  | -  | -                         | -                        | -                    | 8 (1)                 | -                                | 7 (1)                               | -                      | -                | -                  | (2/3)                     | -                         | -           |      |
| CHL                           | -                   | -                  | -  | 11 (3)                    | 6                        | 13 (3)               | -                     | 14 (3)                           | -                                   | -                      | (4<)             | -                  | -                         | 11                        | 13 (3)      |      |
| CSL(N)                        | -                   | -                  | -  | 21 (2)                    | 3                        | 23 (2)               | -                     | 15 (2)                           | -                                   | -                      | 31 (2)           | -                  | -                         | -                         | 10 (1)      |      |
| OHL                           | -                   | -                  | -  | -                         | -                        | -                    | -                     | 30 (4<)                          | -                                   | -                      | (4<)             | (4<)               | -                         | -                         | -           |      |
| OSL(N)                        | -                   | -                  | -  | -                         | -                        | -                    | -                     | 248 (2)                          | -                                   | -                      | (2)              | 86 (2)             | -                         | -                         | -           |      |
| DCP/D                         | -                   | 11                 | 9  | 9                         | 8                        | 10                   | 7                     | -                                | 6                                   | 9                      | 7                | -                  | -                         | 9                         | 9           |      |

۱. صفات مربوط به دمگل: PA: مساحت دمگل؛ ECL: طول سلول اپیرم؛ CPT: ضخامت پارانشیم قشری؛ ChT: ضخامت لایه پارانشیم کلروپلاستدار؛ ChCD: قطر سلول پارانشیم کلروپلاستدار؛ NChCL: تعداد لایه‌های سلولی پارانشیم قشری کلروپلاستدار؛ NChT: ضخامت پارانشیم قشری بدون کلروپلاست؛ NChCT: ضخامت سلول پارانشیم قشری بدون کلروپلاست؛ NNChCL: تعداد لایه‌های سلولی پارانشیم قشری بدون کلروپلاست؛ ET: ضخامت لایه سلولی آندودرم؛ PhT: ضخامت بافت آوند آبکش اصلی؛ NVB: تعداد دستجات آوندی برش عرض دمگل؛ XyT: ضخامت بافت چوب؛ Cd: محدوده قطر سلول های چوب؛ iPhP: حضور یا عدم حضور بافت آبکش داخلی؛ MPA: مساحت پارانشیم معزی؛ MPCD: محدوده قطر سلول های پارانشیم غیرمعزی؛ RHL: کرک ساده کوتاه؛ SSH: کرک ساده بلند؛ RSL: طول پایه کرک غدهای با سر مستطیلی؛ CHL: مغز. صفات مربوط به کرک برگ و دمگل: SLH: کرک ساده غدهای کوتاه؛ RSH: طول سر کرک غدهای با سر مستطیلی؛ CSL: طول سر کرک غدهای با سر گرد؛ THL: طول پایه کرک غدهای با سر واژمثای؛ TSL: طول پایه کرک غدهای با سر واژمثای؛ SHL: طول سر کرک غدهای با سر مرتعی؛ SSL: طول پایه کرک غدهای با سر مرتعی/D: حضور یا عدم حضور Druse crystal و اندازه آن؛ N: تعداد سلول های آن عضو. ۲. علائم + - و ! به ترتیب نشان دهنده حضور، عدم حضور و روت نشده با شک داشتن است.

**Table 1.** Peduncle related traits: PA: Peduncle Area; ECL: Epidermal Cell length; CPT: Cortical Parenchyma Thickness; ChT: Chloroplastic Parenchymal layers Thickness; ChCD: Chloroplastic Parenchymal Cell Diameter; NChCL: Number of Chloroplastic Parenchymal Cell layers. NChT: Non Chloroplastic Parenchymal layers Thickness, NChCT: Non Chloroplastic Parenchymal cell Thickness; NNChCL: Number of Non Chloroplastic Parenchymal Cell layers; ET: Endodermal cell layer Thickness; PhT: Phloem layer Thickness; NVB: number of Vascular Bundles; XyT: Xylem layer Thickness; XyCD: Xylem Cell Diameter; IPPh: Inner Phloem Presence; PA: Pith Area; PCD: Pith Cell Diameter. Traits related to leaf and peduncle trichome: LSH: Simple Long Hair; SSH: Simple Short Hair; RHL: Rectangular Head Length of glandular hair; RSL: Rectangular head glandular hair's Stem Length; CHL: Circular Head Length of glandular hair; CSL: Circular head glandular hair's Stem Length; THL: Triangular Head Length of glandular hair; TSL: Triangular head glandular hair's Stem Length; SHL: Square Head Length of glandular hair; SSL: Square head glandular hair's Stem Length; DCP/D: Druse crystal Presence/ Diameter. 2, +, - and ! denote presence, absence and not sure or not seen respectively.

های غده‌ای با سر واژمثلثی بوده و گونه‌های *P. gedrosiacus*, *P. szovitsii* (Kazempour 8590), *P. canus*, *pyrethrifolius* دارای کرک غده‌ای با سر مربعی هستند (شکل ۴). *Pterocephalus sp.2* دارای کرک دارای *P. brevis* است.

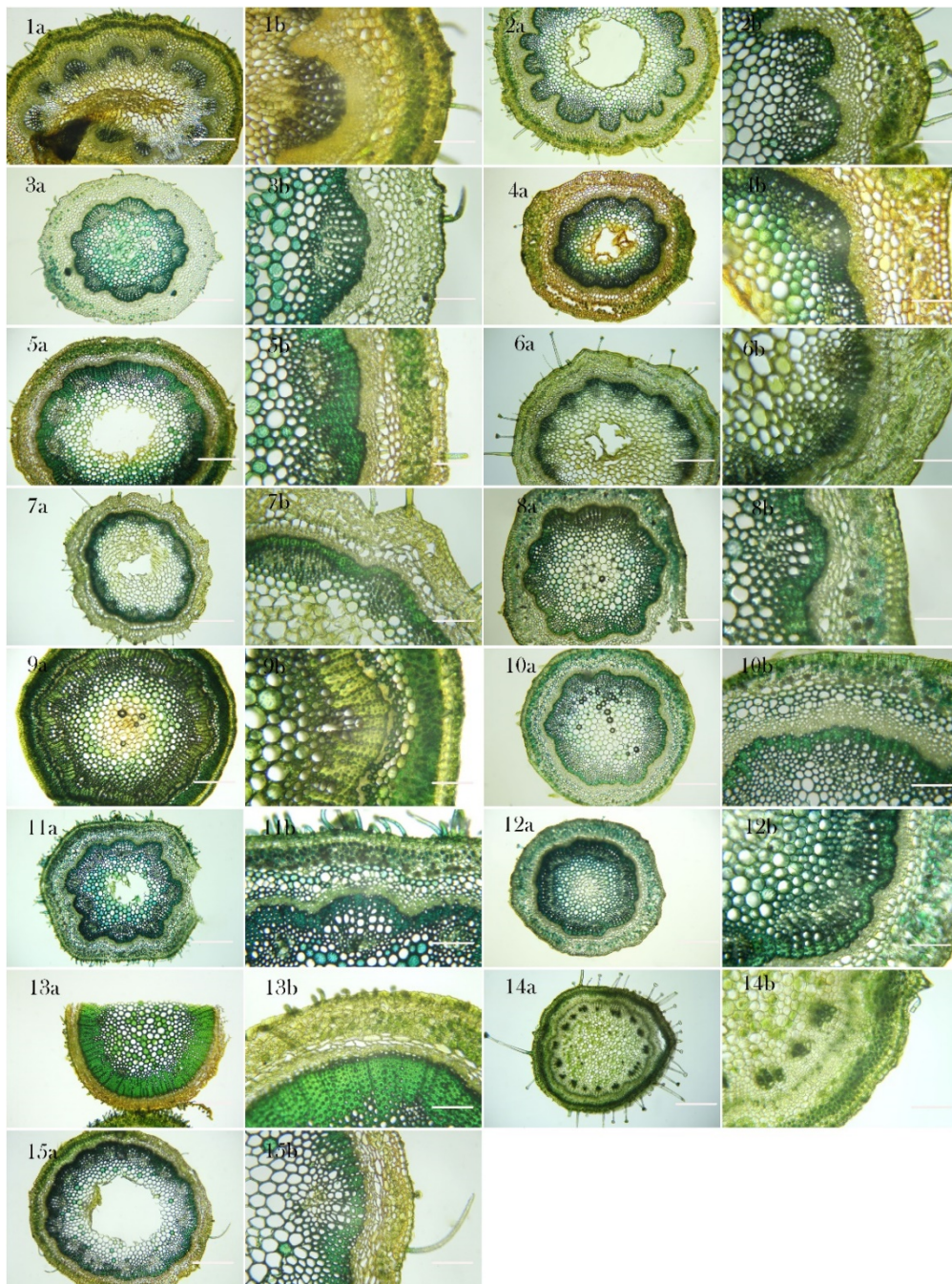
تشریح برش عرضی و کرک دمگل

بررسی تشریحی ۱۵ نمونه از ۱۱ گونه سرده پتروسفالوس نشان داد که دمگل آذین در پنج نمونه شامل *P. pyrethrifolius*, *P. szovitsii* و *P. kurdicus ghahremani* مقطعی شش ضلعی دارد این در حالی است که این گونه‌ها از نظر ریخت‌شناسی نیز در یک گروه قرار می‌گیرند (جدول ۳، شکل‌های ۴، ۵). گونه‌های *P. gedrosiacus*, *P. wendelboi* مقطع دمگل گرد و سایر گونه‌ها مقطعی بیضی شکل دارند. در بین آرایه‌ها، *P. Pterocephalus* sp.3 *canus* (Kazempour 8590) بیشترین قطر دمگل آذین و *P. Gedrosiacus* (Ghahreman 4728) ادراگنند.

اولین لایه سلول پارانشیمی در زیر لایه‌های سلولی پارانشیم پوستی کلروفیل دار، سلول‌های بیضی شکلی هستند که همانند زنجیر به هم متصل هستند. استوانه آوندی در (Ghahreman 4728) *P. canus* و *P. szovitsii.sp* و *P. kurdicus* (Kazempour 8590) *P. canus* *P. khorassanicus* *P. afghanicus* کاملا سینوسی، در گونه‌های *P. Pterocephalus* sp.3 *Pterocephalus* sp.2 *P. plumosus* *P. szovitsii* و *ghahremani* *P. brevis* و *P. gedrosiacus* *pyrethrifolius* کاملا صاف است. صاف بودن استوانه آوندی در گونه *P. wendelboi*

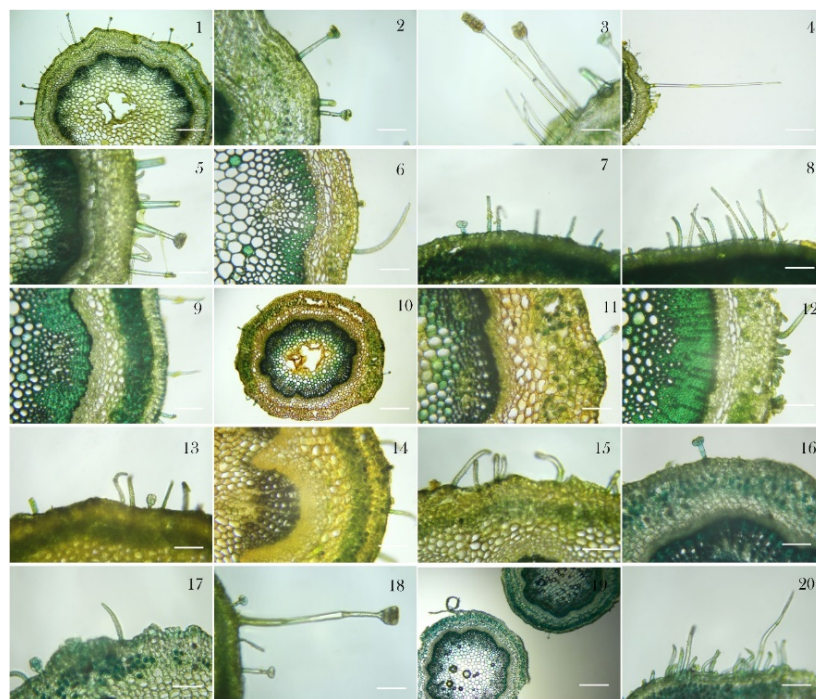
زاویه بین دو بخش پهنهک در منطقه رگبرگ میانی در سه گونه  
و *P. afghanicus* ۹۶ درجه، *P. brevis* ۷۳/۹۷ درجه) و  
زاویه بین دو بخش SP.2 ۸۴/۵۴ درجه) کمتر از ۱۰۰ درجه است. زاویه بین دو بخش  
پهنهک در سایر گونه‌ها بالاتر از ۱۰۰ درجه است و از ۱۱۲/۱۸ درجه  
در *P. khorassanicus* تا ۱۶۲/۴۹ درجه در *P. kurdicus* تفاوت نشان می‌دهد (جدول ۲).

کمترین ضخامت پهنهک، ضخامت اپیدرم رویی و اپیدرم زیرین در *P. wendelboi* و بیشترین آنها در *P. plumosus* کمترین و بیشترین ضخامت رگبرگ میانی به ترتیب در *P. brevis* و *P. szovitsii* دیده می‌شود. تعداد لایه‌های سلول‌های پارانشیمی نرdbانی زیرین و رویی در گونه‌ها اغلب بین دو و سه متغیر است و تنها در گونه *P. wendelboi* چهار لایه دیده می‌شود و ضخامت آنها از ۱۳ در  $52 \mu\text{m}$  تا  $52 \mu\text{m}$  در *Pterocephalus* sp.1 متفاوت است. در اکثر نمونه‌ها بافت اسفنجی وجود ندارد و فقط پارانشیم نرdbانی است اما در بعضی گونه‌ها از جمله *P. plumosus*, *P. brevis*, *P. szovitsii*, *P. szovitsii*.SP در اطراف رگبرگ میانی فشردگی سلول‌ها به هم کم شده و کمی به حالت اسفنجی در آمده است. در گونه‌های *P. ghahremani* و *P. gedrosiacus* فشردگی سلول‌های پارانشیم نرdbانی بالایی کمتر از پایینی است و در نمونه *Pterocephalus* sp.3 بر عکس آنها است. همه نمونه‌ها به غیر از *P. canus*, *P. brevis*, *P. plumosus*, *P. szovitsii* و *Pterocephalus* sp.1 (Ghahreman 4728) (Mozaffarian 69881) دارای بلورهای اگزالات کلسیم در بافت نرdbانی پهنهک برگ هستند. اکثر گونه‌ها دارای کرک غدهای با سر مستطیلی و یا گرد هستند به طوری که تنها سه نمونه *P.*



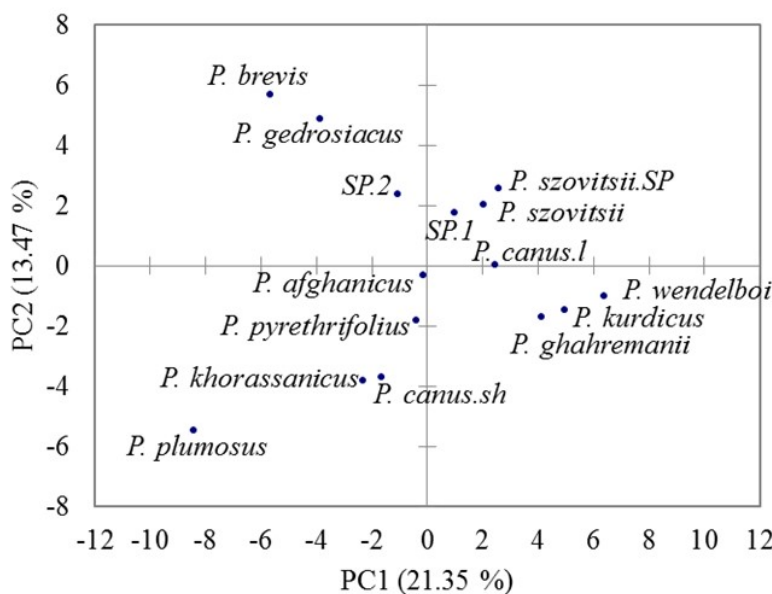
شکل ۶- برش عرضی دمگل در گونه‌های مختلف پتروسفالوس به دست آمده از میکروسکوپ نوری در (۱) *P. canus* (Kazempour 8590) (۲) *P. canus* (Ghahreman 4728) (۳) *P. afghanicus* (۴) *P. khorassanicus* (۵) *Pterocephalus* sp.3 (۶) *P. plumosus* (۷) *P. brevis* (۸) *P. kurdicus* (۹) *P. ghahremani* (۱۰) *P. szovitsii* (۱۱) *Pterocephalus* sp.1 (۱۲) *P. pyrethrifolius* (۱۳) *P. wendelboi* (۱۴) *P. gedrosiacus* و (۱۵) *P. pterocephalus* sp.2. اندازه نوار مقیاس در a و b به ترتیب ۱۰۰ µm و ۵۰ µm هستند.

**Fig. 7.** Cross-section of peduncle in *Pterocephalus* species: 1. *P. canus* (Kazempour 8590), 2. *P. canus* (Ghahreman 4728), 3. *P. afghanicus*, 4. *P. khorassanicus*, 5. *Pterocephalus* sp.3, 6. *P. plumosus*, 7. *P. brevis*, 8. *P. kurdicus*, 9. *P. ghahremani*, 10. *P. szovitsii*, 11. *Pterocephalus* sp.1, 12. *P. pyrethrifolius*, 13. *P. wendelboi*, 14. *P. gedrosiacus*, 15. SP.2. Scale bars: a: 100 µm and b: 50 µm.



شکل ۷- تصاویر میکروسکوپ نوری از کرک‌های دمگل در گونه‌های مختلف *P. brevis* -۴ و *P. plumosus* -۳ و ۲، *P. pterocephalus* sp.2 -۷، *P. canus* (Kazempour) -۱۴ و *P. wendelboi* -۱۲، *P. khorassanicus* -۱۰ و *P. pterocephalus* sp.3 -۹ و ۸، *P. pterocephalus* sp.2 -۲۰، *P. szovitsii* -۱۹، *P. gedrosiacus* -۱۸، *P. afghanicus* -۱۷، *P. pyrethrifolius* -۱۶، *P. canus* (Ghahreman 4728) -۱۵، *P. canus* (Ghahreman 4728) -۱۵، *P. pterocephalus* sp.1 -۱۹ نوار مقیاس در ۲۰۰  $\mu\text{m}$  در ۴۰ و ۱۰۰  $\mu\text{m}$  و در بقیه: ۵۰  $\mu\text{m}$

**Fig. 8.** Light microscopy of the peduncle trichome in *Pterocephalus* species: 1, 2, 3. *P. plumosus*, 4. *P. brevis*, 6. *Pterocephalus* sp.2, 7, 8, 9. *Pterocephalus* sp.3, 10, 11. *P. khorassanicus*, 12. *P. wendelboi*, 13, 14. *P. canus* (Kazempour 8590), 15. *P. canus* (Ghahreman 4728), 16. *P. pyrethrifolius*, 17. *P. afghanicus*, 18. *P. gedrosiacus*, 19. *P. szovitsii*, 20. *Pterocephalus* sp.1. Scale bars in 19: 200  $\mu\text{m}$ , in 1, 4, 10: 100  $\mu\text{m}$  and others: 50  $\mu\text{m}$ .



شکل ۸- نمودار دوبعدی تجزیه به مولفه‌های اصلی گونه‌های سرده *Pterocephalus* براساس داده‌های تشریحی برش عرضی برگ و دمگل.

**Fig. 9.** The two-dimensional plot obtained by principle component analysis (PCA) based on anatomical traits including leaves and peduncles in *Pterocephalus* species.

گونه‌های ایران تفاوت نشان می‌دهد (Crivellaro, 2012) کارلکویست (1982) با مطالعه برش طولی سه گونه از اسکبیوزا و *Pterocephalus* و *P. dumetorum* دو گونه از پتروسفالوس (*P. dumetorum*) از مناطق مدیترانه‌ای پیشنهاد داده است که حالت ابتدایی تیره خواجه‌باشیان چوبی می‌باشد. گونه‌های بررسی شده به جای فیبرهای لیبریفرم، دارای تراکئید هستند که این بافت از اشکال ابتدایی در تکامل گیاهان است. علاوه بر این دیوارهای منفذدار (تزیینات منقوط) در چوب ثانویه *P. dumetorum* و چوب اولیه همه گونه‌ها مطالعه شده شایع‌تر بوده است (Carlquist, 1982). مطالعه یاشیل و ارارسان (2018) با *Scabiosa atropurpurea* L. بررسی تشریحی برگ و ساقه گونه *Scabiosa hispidula* Boiss. از ترکیه و مقایسه آن با بعضی گونه‌های آن سرده از جمله همچون وجود کرک غدهای بر روی برگ و ساقه، وجود هیداتود، وجود یا محل بلورهای کریستالی در گونه‌های مختلف، می‌تواند به شناسایی و جداسازی گونه‌ها کمک کند (Yeşil & Erarslan, 2018).

### نتیجه گیری

بررسی صفات تشریحی مربوط به برگ و دمگل در سرده پتروسفالوس نشان می‌دهد که تنوع قابل ملاحظه‌ای در بین گونه‌ها وجود دارد به طوری که صفاتی مانند داشتن چهار لایه پارانشیم نزدیکی، تفاوت فشردگی سلول‌های پارانشیم نزدیکی بالایی و پایینی و زاویه بین دو بخش پهنک در برش عرضی برگ، شکل مقطع عرضی دمگل، داشتن کرک غدهای با سر مستطیلی ۱۰ سلولی، کرک ساده نوک‌تیز سه سلولی، استوانه‌آوندی صاف یا تقریباً سینوسی در برش عرضی دمگل، اختصاص به گونه خاصی داشته که می‌تواند در آرایه‌شناسی کاربرد داشته باشد. در یک جمع‌بندی کلی می‌توان نتیجه گرفت که صفات تشریحی می‌توانند در برخی از گونه‌ها به عنوان یک صفت جدا کننده پیشنهاد گردد.

### سپاسگزاری

نویسنده‌گان از داوران مجله یافته‌های نوین علوم زیستی برای ارائه پیشنهادهای سازنده تشکر می‌نمایند.

گونه *P. wendelboi* می‌تواند به علت زیاد بودن بافت استحکامی و عناصر فشرده آوندی باشد. در اکثر آرایه‌ها تعداد لایه سلول‌های پارانشیم پوستی ۱۰ یا بیشتر از آن است، اما در گونه‌های *P. gedrosiacus*, *P. pyrethrifolius*, *ghahremani*, *P. brevis*, *khorassanicus* ۱۰ لایه است. بلور اگزالت کلسیم در بافت پارانشیم قشری دمگل همه گونه‌ها به جز گونه‌های *P. wendelboi* دیده می‌شود. پوشش کرکی دمگل در گونه‌های مختلف شامل کرک ساده با سر گرد، کرک ساده نیزه‌ای، کرک غدهای با سر گرد، کرک غدهای با سر مربعی، کرک غدهای با سر مستطیلی و کرک غدهای با سر واژمثلي است (شکل ۷). بلندترین کرک که یک کرک ساده نیزه‌ای تک‌سلولی است، در گونه *P. brevis* دیده می‌شود. بلندترین کرک غدهای با سر مستطیلی مربوط به گونه *P. plumosus* با سری در حدود ۱۰ سلولی و به طول ۴۵  $\mu\text{m}$  با پایه سه سلولی به طول ۲۲۶  $\mu\text{m}$  است. بلندترین کرک غدهای با سر واژمثلي با حدود چهار سلول، متعلق به گونه *P. gedrosiacus* به طول ۳۰  $\mu\text{m}$  با پایه دو سلولی به طول ۲۴۸  $\mu\text{m}$  است. تنها کرک ساده نیزه‌ای سه سلولی در نمونه مشاهده شد.

براساس این نتایج می‌توان گفت گونه *P. wendelboi* در اکثریت صفات مربوط به دمگل نسبت به سایر گونه‌ها تفاوت فاحشی را نشان می‌دهد که با تفاوت ظاهری و زیستگاه کاملاً متفاوت آن نسبت به سایر گونه‌ها نیز مطابقت دارد. قابل ذکر است *P. wendelboi* تنها گونه خاردار این سرده است. دو مولفه اول و دوم حاصل تجزیه به مولفه‌های اصلی بر اساس داده‌های کمی به دست آمده از اندازه‌گیری کمی صفات تشریحی دمگل و برگ ۳۵ درصد کل تنوع موجود را شامل می‌شود (شکل ۸). نموداد دو بعدی ترسیم شده بر اساس دو مولفه اصلی اول نشان داد که گروه‌بندی دقیقی برای گونه‌ها براساس این ویژگی‌ها نمی‌توان مشخص کرد.

کریولارو (۲۰۱۲) با تهیه برش‌های عرضی و طولی بافت چوب و *Pterocephalus multiflorus* مغز، با بررسی دو واریته از گونه *P. multiflorus* از تیره خواجه‌باشیان از قبرس نشان داده است که بافت مغز گونه *P. multiflorus* از نظر داشتن سلول‌هایی با شکل‌های متفاوت و دیواره ضخیم با گونه‌های بررسی شده در این تحقیق شباهت داشته و از نظر داشتن کریستال، با

## REFERENCES

- Behnke, H.D.** 1994. Sieve-element plastids: their significance for the evolution and systematics of the order. In Behnke, H.D., Mabry, T. (eds.), pp: 87-121. Caryophyllales: Evolution and Systematics. Springer-Verlag Berlin Heidelberg.
- Carlquist, S.** 1982. Wood anatomy of Dipsacaceae. *Taxon* 31: 443-450.
- Crivellaro, A.** 2012. Wood, bark and pith structure in trees and shrubs of *Cyprus*: anatomical descriptions and ecological interpretation, Ph.D. dissertation, University of Padua, Italy.
- Jamzad, Z.** 1993. Dipsacaceae, In Assadi, M. et al. (eds.), Flora of Iran. Vol. 8: 37-63. RIFR, Tehran.
- Kadereit, J.W. & V. Bittrich.** 2016. Flowering Plants. Eudicots: Aquifoliales, Boraginales, Bruniales, Dipsacales, Escalloniales, Garryales, Paracryphiales, Solanales (except Convolvulaceae), Icacinaceae, Metteniusaceae, Vahliaceae. Springer, pp: 145-162.
- Metcalfe, C.R. and Chalk, L.** 1950. Anatomy of the dicotyledons. The Clarendon Press, Oxford, pp: 780-781.
- Neubauer, H.** 1978. On nodal anatomy and petiolar vascularization of some Valerianaceae and Dipsacaceae. *Phytomorphology* 28: 431-436.
- Rechinger, K.H.** 1991. Dipsacaceae. In Rechinger, K.H. (ed.), Flora Iranica, Vol. 168: 18-33. Akad. Druck- und Verlagsanstalt, Graz.
- Yeşil, Y. and Erarslan, Z.B.** 2018. The anatomical properties of *Scabiosa atropurpurea* L. (Caprifoliaceae). *IUJP* 48: 1-5.

\*\*\*\*\*

### How to cite this article:

- Piroozi, S., Attar, F., Falahati-Anbaran, M. & Mehdigholi, K.** 2020. Leaf and peduncle anatomy of species in the genus *Pterocephalus* (Caprifoliaceae) from Iran. *Nova Biologica Reperta* 7: 106-118. (In Persian).
- پیروزی، س.، عطار، ف.، فلاحتی عنبران، م. و مهدیقلی، ک. ۱۳۹۹. مطالعه صفات تشریحی مربوط به برگ و دمگل گونه‌های سرده پتروسفالوس از تیره آقطیان در ایران. *یافته‌های نوین در علوم زیستی* ۷: ۱۰۶-۱۱۸.